

磁化トーラス上にコンパクト化した 超対称模型におけるモジュライ固定

宮根 一樹

2024 年 1 月 23 日

1. イントロダクション

高次元時空モデル：素粒子標準模型を再現する可能性

余剰次元は低エネルギーで観測できないほど小さくコンパクト化

余剰次元の大きさ (モジュライ) は力学的な場

→ 低エネルギーで真空期待値に固定

本研究の動機

標準模型の世代構造を再現する高次元時空モデル [1] で

余剰次元のモジュライを固定



その値を用いて現象論的に興味のある量を計算・考察

2. 磁化トーラス模型

トーラスコンパクト化

4次元ミンコフスキー + 6次元余剰空間

余剰次元にトーラス T^2 の境界条件 \rightarrow コンパクト化

$$6: 2\pi \rightarrow \bigcirc \times \bigcirc \times \bigcirc$$

$$\mathcal{A}^{(i)} = (\cancel{2\pi R_i})^2 : i \text{ 番目のトーラスの面積}$$

\downarrow

$$\langle T_i \rangle = \mathcal{A}^{(i)} \text{ となるような力学的な場 } T_i \text{ モジュライ}$$

背景磁場 : トーラスに背景磁場を導入 (世代を再現)

$$\longrightarrow B^{(i)} = \{M_1^{(i)}, M_2^{(i)}\} : M_a^{(i)} \text{ は整数}$$

2. 磁化トーラス模型

モジュライのポテンシャル

$$V^{(D)}(T_i) = \sum_{a=1,2} \left(\sum_{i=1,2,3} \frac{\pi M_a^{(i)}}{T_i} \right)^2 \times \prod_{i=1,2,3} T_i$$

↓ 真空期待値 $\langle T_i \rangle$ の周りで展開

$$V^{(D)}(T_i) \sim V^{(D)}(\langle T_i \rangle) + \underbrace{\frac{1}{2} \partial_{T_r} \partial_{T_{r'}} V^{(D)} \Big|_{T_i = \langle T_i \rangle}}_{\equiv V_{rr'}} \delta T_r \delta T_{r'}$$

2. 磁化トーラス模型

モジュライのポテンシャル

$$V^{(D)}(T_i) = \sum_{a=1,2} \left(\sum_{i=1,2,3} \frac{\pi M_a^{(i)}}{T_i} \right)^2 \times \prod_{i=1,2,3} T_i$$

↓ 真空期待値 $\langle T_i \rangle$ の周りで展開

$$V^{(D)}(T_i) \sim V^{(D)}(\langle T_i \rangle) + \underbrace{\frac{1}{2} \partial_{T_r} \partial_{T_{r'}} V^{(D)} \Big|_{T_i = \langle T_i \rangle}}_{\equiv V_{rr'}} \delta T_r \delta T_{r'}$$

行列 $V_{rr'}$ の対角化

$$V^D \sim V^{(D)}(\langle \tilde{T}_i \rangle) + \frac{1}{2} m_2^2 \delta \tilde{T}_2^2 + \frac{1}{2} m_3^2 \delta \tilde{T}_3^2$$

\tilde{T}_i : 対角化後の基底 & m_2^2, m_3^2 : $V_{rr'}$ の固有値

2. 磁化トーラス模型

新・旧基底の関係

P は対角化行列

$$\langle T_1 \rangle = P_{11} \langle \tilde{T}_1 \rangle + P_{12} \langle \tilde{T}_2 \rangle + P_{13} \langle \tilde{T}_3 \rangle$$

$$\langle T_2 \rangle = P_{21} \langle \tilde{T}_1 \rangle + P_{22} \langle \tilde{T}_2 \rangle + P_{23} \langle \tilde{T}_3 \rangle$$

$$\langle T_3 \rangle = P_{31} \langle \tilde{T}_1 \rangle + P_{32} \langle \tilde{T}_2 \rangle + P_{33} \langle \tilde{T}_3 \rangle$$

2. 磁化トーラス模型

新・旧基底の関係

P は対角化行列

$$\langle T_1 \rangle = P_{11} \langle \tilde{T}_1 \rangle + P_{12} \langle \tilde{T}_2 \rangle + P_{13} \langle \tilde{T}_3 \rangle$$

$$\langle T_2 \rangle = P_{21} \langle \tilde{T}_1 \rangle + P_{22} \langle \tilde{T}_2 \rangle + P_{23} \langle \tilde{T}_3 \rangle$$

$$\langle T_3 \rangle = P_{31} \langle \tilde{T}_1 \rangle + P_{32} \langle \tilde{T}_2 \rangle + P_{33} \langle \tilde{T}_3 \rangle$$

→ モジュライ \tilde{T}_1 の真空期待値が決まれば、 $\langle T_i \rangle$ が全て決定

今後の目標

→ モジュライ $\tilde{T}_1 \equiv \tilde{T}$ の真空期待値 $\langle \tilde{T} \rangle$ を決定

3. モジュライ固定

\tilde{T} のポテンシャル

スーパーポテンシャル W ，ケーラーポテンシャル K

$$W = w_0 - Ae^{-aP_{11}\tilde{T}} - Be^{-bP_{11}\tilde{T}}X$$

$$K = -3 \ln(\tilde{T} + \bar{\tilde{T}}) + |X|^2$$

\downarrow Def.

$$V^{(F)}(\tilde{T}, X) = e^K (K^{I\bar{J}} (D_I W)(D_{\bar{J}} \bar{W}) - 3|W|^2) : \text{ポテンシャル}$$

\rightarrow 最小点 ($\langle T \rangle$, $\langle X \rangle$) は近似的に知られている

3. モジュライ固定

先行研究 [1, 3]

$$W = w_0 - Ae^{-aP_{11}T} - Be^{-bP_{11}T}$$

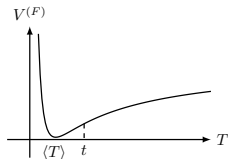
$$W = w_0 \left[-Ae^{-aT} - Be^{-bT} X \right]$$

$$K = -3 \ln(T + \tilde{T}) + |X|^2$$

$$w_0 \ll 1, A, B \sim 1, a, b \sim 4\pi^2$$



$$x = \sqrt{3} - 1, t = \mathcal{O}(1)$$



点 (t, x) は真の最小点 $(\langle T \rangle, \langle X \rangle)$ の近似点

→ 以降はこの近似値を用いて計算

4. 計算結果・考察

(注：パラメーターの取り方に問題があったので、卒論 and/or 発表までに意味のあるものを掲載します。)

磁場 M_a^i の値を先行研究 [1] の値にとる

$$M_{Pl} \sim 10^9 \text{ GeV}$$

$$M^{(1)} = \begin{pmatrix} 7 & 0 \\ 0 & -7 \end{pmatrix}, M^{(2)} = \begin{pmatrix} 1 & 0 \\ 0 & 0 \end{pmatrix}, M^{(3)} = \begin{pmatrix} 0 & 0 \\ 0 & -1 \end{pmatrix}$$

- $\langle T_1 \rangle = 1.020 \times \mathcal{O}(1)$, $\langle T_2 \rangle, \langle T_3 \rangle = 7.143 \times \mathcal{O}(1)$
- $m_2^{(D)}, m_3^{(D)} \sim 11$, $m_T \sim 10^{-29} \rightarrow m_2^{(D)}, m_3^{(D)} \gg m_T$
 $F^T \sim 10^{-46} \rightarrow F^T \sim 0$

- アノマリー伝播とモジュライ伝搬の比 [4]

$$\alpha \sim 10^{13} \neq \mathcal{O}(1)$$

5. まとめと展望

まとめ

- モジュライの真空期待値を決定 → 余剰次元の大きさを決定
- その値を用いて現象論的に興味のある量を計算 → 考察

* 質量 m \rightarrow 0 \rightarrow 5 U 5 \rightarrow 0 K * α は g_X

展望

- モジュライ固定の計算
→ 今回は先行研究の計算をそのまま適用
- スーパーポテンシャルの形を変える
 - ▶ ブレーンによる非摂動効果を変化させた場合
 - ▶ ISS-KKLT モデルの場合 など

想定される質問とか

- ・ 近似とは? \rightarrow Reference point α がある
- ・ 近似の妥当性.
- ・ 仮定場はなに? \rightarrow 世代とか 伝わる 等.
↑
の非対称性
- ・ どうやって実証 \rightarrow イデオロギカルなやり方.

付録

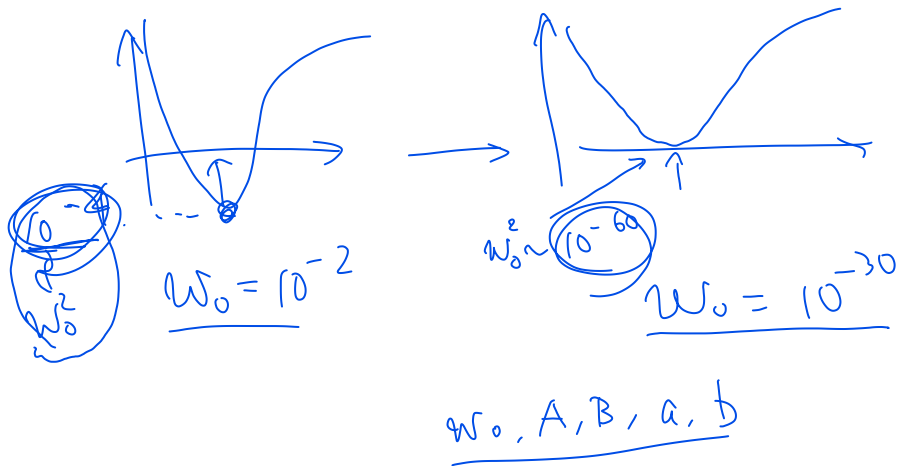
目次

- ① イントロダクション
- ② 磁化トーラス模型
- ③ モジュライ固定
- ④ 計算結果・考察
- ⑤ まとめと展望
- ⑥ 付録
 - 対角化行列
 - モジュライ固定の例
- ⑦ 参考文献

A. 对角化行列

$$\begin{aligned}
 P_{11} &= \frac{(M_1^{(2)} M_2^{(1)} - M_1^{(1)} M_2^{(2)}) (M_1^{(3)} M_2^{(2)} - M_1^{(2)} M_2^{(3)})}{(M_1^{(2)} M_2^{(3)} - M_1^{(3)} M_2^{(2)})^2} \sqrt{\left| \frac{(M_1^{(2)} M_2^{(1)} - M_1^{(1)} M_2^{(2)}) (M_1^{(3)} M_2^{(2)} - M_1^{(2)} M_2^{(3)})}{(M_1^{(2)} M_2^{(3)} - M_1^{(3)} M_2^{(2)})^2} \right|^2 + \left| \frac{(M_1^{(2)} M_2^{(1)} - M_1^{(1)} M_2^{(2)}) \left(\frac{M_1^{(3)} M_2^{(1)} (M_1^{(2)} M_2^{(3)} - M_1^{(3)} M_2^{(2)})^2}{(M_1^{(3)} M_2^{(1)} - M_1^{(1)} M_2^{(3)})^2} - \frac{M_1^{(1)} M_2^{(3)} (M_1^{(2)} M_2^{(3)} - M_1^{(3)} M_2^{(2)})^2}{(M_1^{(3)} M_2^{(1)} - M_1^{(1)} M_2^{(3)})^2} \right)}{(M_1^{(2)} M_2^{(3)} - M_1^{(3)} M_2^{(2)})^2} \right|^2} + 1 \\
 P_{21} &= - \frac{(M_1^{(2)} M_2^{(1)} - M_1^{(1)} M_2^{(2)}) \left(\frac{M_1^{(3)} M_2^{(1)} (M_1^{(2)} M_2^{(3)} - M_1^{(3)} M_2^{(2)})^2}{(M_1^{(3)} M_2^{(1)} - M_1^{(1)} M_2^{(3)})^2} - \frac{M_1^{(1)} M_2^{(3)} (M_1^{(2)} M_2^{(3)} - M_1^{(3)} M_2^{(2)})^2}{(M_1^{(3)} M_2^{(1)} - M_1^{(1)} M_2^{(3)})^2} \right)}{(M_1^{(2)} M_2^{(3)} - M_1^{(3)} M_2^{(2)})^2} \sqrt{\left| \frac{(M_1^{(2)} M_2^{(1)} - M_1^{(1)} M_2^{(2)}) (M_1^{(3)} M_2^{(2)} - M_1^{(2)} M_2^{(3)})}{(M_1^{(2)} M_2^{(3)} - M_1^{(3)} M_2^{(2)})^2} \right|^2 + \left| \frac{(M_1^{(2)} M_2^{(1)} - M_1^{(1)} M_2^{(2)}) \left(\frac{M_1^{(3)} M_2^{(1)} (M_1^{(2)} M_2^{(3)} - M_1^{(3)} M_2^{(2)})^2}{(M_1^{(3)} M_2^{(1)} - M_1^{(1)} M_2^{(3)})^2} - \frac{M_1^{(1)} M_2^{(3)} (M_1^{(2)} M_2^{(3)} - M_1^{(3)} M_2^{(2)})^2}{(M_1^{(3)} M_2^{(1)} - M_1^{(1)} M_2^{(3)})^2} \right)}{(M_1^{(2)} M_2^{(3)} - M_1^{(3)} M_2^{(2)})^2} \right|^2} + 1 \\
 P_{31} &= \frac{1}{\sqrt{\left| \frac{(M_1^{(2)} M_2^{(1)} - M_1^{(1)} M_2^{(2)}) (M_1^{(3)} M_2^{(2)} - M_1^{(2)} M_2^{(3)})}{(M_1^{(2)} M_2^{(3)} - M_1^{(3)} M_2^{(2)})^2} \right|^2 + \left| \frac{(M_1^{(2)} M_2^{(1)} - M_1^{(1)} M_2^{(2)}) \left(\frac{M_1^{(3)} M_2^{(1)} (M_1^{(2)} M_2^{(3)} - M_1^{(3)} M_2^{(2)})^2}{(M_1^{(3)} M_2^{(1)} - M_1^{(1)} M_2^{(3)})^2} - \frac{M_1^{(1)} M_2^{(3)} (M_1^{(2)} M_2^{(3)} - M_1^{(3)} M_2^{(2)})^2}{(M_1^{(3)} M_2^{(1)} - M_1^{(1)} M_2^{(3)})^2} \right)}{(M_1^{(2)} M_2^{(3)} - M_1^{(3)} M_2^{(2)})^2} \right|^2} + 1}
 \end{aligned}$$

B. モジュライ固定の例



参考文献

- [1] H. Abe, T. Kobayashi, K. Sumita, and S. Uemura, *Kähler moduli stabilization in semi-realistic magnetized orbifold models*, 2017.
Physical Review D **96** (2017) 026019, [arxiv:1703.03402 \[hep-ph, physics:hep-th\]](#).
- [2] H. Abe, T. Kobayashi, H. Ohki, and K. Sumita, *Superfield description of 10D SYM theory with magnetized extra dimensions*, 2012.
Nuclear Physics B **863** (2012) 1–18, [arxiv:1204.5327 \[hep-ph, physics:hep-th\]](#).
- [3] H. Abe, T. Higaki, T. Kobayashi, and Y. Omura, *Moduli stabilization, F-term uplifting and soft supersymmetry breaking terms*, 2007.
Physical Review D **75** (2007) 025019, [arxiv:hep-th/0611024](#).
- [4] K. Choi, K. S. Jeong, and K. Okumura, *Phenomenology of Mixed Modulus-Anomaly Mediation in Fluxed String Compactifications and Brane Models*, 2005.
Journal of High Energy Physics **2005** (2005) 039–039, [arxiv:hep-ph/0504037](#).

参考文献

- [5] J. Wess and J. Bagger, *Supersymmetry and Supergravity*.
Princeton University Press, Princeton, N.J, 1992.
- [6] 柴崎 寿英, 『背景磁場を持つ 10 次元超対称 Yang-Mills 理論におけるゲージ結合に対する量子補正』, Master's thesis, 早稲田大学, 2021.
- [7] 中野 隼斗, 『磁化オービフォールド上の 10 次元超対称理論における 4 次元有効ゲージ結合定数の解析』, Master's thesis, 早稲田大学, 2023.